

# *Elementos de Teoria do Potencial*

*Disciplina Métodos Potenciais*

<p>Vanderlei C. Oliveira Jr. Observatório Nacional - MCTI Rio de Janeiro - 2015</p>
---

# Conteúdo

<b>I</b>	<b>Funções harmônicas</b>	<b>3</b>
<b>1</b>	<b>Função potencial magnético escalar</b>	<b>3</b>
1.0.1	Exercício . . . . .	3
<b>II</b>	<b>Harmônicos esféricos</b>	<b>5</b>
<b>2</b>	<b>Equações diferenciais auxiliares</b>	<b>5</b>
2.1	Equações de $r$ . . . . .	5
2.1.1	Exercício . . . . .	5
2.2	Equações de $\lambda$ . . . . .	5
2.2.1	Exercício . . . . .	6
2.3	Polinômios de Legendre . . . . .	6
2.3.1	Exercício . . . . .	8
2.3.2	Exercício . . . . .	8
<b>3</b>	<b>Equação de Laplace em coordenadas esféricas</b>	<b>9</b>
3.1	Solução da Equação de Laplace em coordenadas esféricas . . . . .	9
3.2	Relações de ortogonalidade entre as funções $R_{nm}(\theta, \lambda)$ e $S_{nm}(\theta, \lambda)$	11
3.3	Determinação das expressões analíticas que descrevem as constantes $A_{nm}$ e $B_{nm}$ . . . . .	12
3.4	Normalização das funções $R_{nm}(\theta, \lambda)$ e $S_{nm}(\theta, \lambda)$ . . . . .	14
3.4.1	Exercício . . . . .	15
3.5	Descrição do campo de gravidade em harmônicos esféricos . . . . .	16
3.6	Expansão da função inverso da distância e fórmula da decomposição	18

## Parte I

# Funções harmônicas

## 1 Função potencial magnético escalar

Seja  $f(x, y, z)$  dada por

$$f(x, y, z) = - \iiint_v \mathbf{m}(x', y', z')^\top \left( \nabla \frac{1}{r} \right) dv \quad (1)$$

em que  $r = \sqrt{(x - x')^2 + (y - y')^2 + (z - z')^2}$  é a distância entre o ponto  $(x, y, z)$  e o ponto  $(x', y', z')$  dentro do volume de integração  $v$  (Figura 1). Os vetores  $\mathbf{m}(x', y', z')$  e  $\nabla \frac{1}{r}$  são dados por

$$\mathbf{m}(x', y', z') = \begin{bmatrix} m_x(x', y', z') \\ m_y(x', y', z') \\ m_z(x', y', z') \end{bmatrix}_{3 \times 1} \quad (2)$$

e

$$\nabla \frac{1}{r} = \begin{bmatrix} \frac{\partial}{\partial x} \frac{1}{r} \\ \frac{\partial}{\partial y} \frac{1}{r} \\ \frac{\partial}{\partial z} \frac{1}{r} \end{bmatrix}_{3 \times 1} . \quad (3)$$

.....

### 1.0.1 Exercício

Mostre que a função  $f(x, y, z)$  (Eq. 1) é harmônica e, portanto, satisfaz a equação de Laplace em coordenadas Cartesianas

$$\frac{\partial^2 f(x, y, z)}{\partial x^2} + \frac{\partial^2 f(x, y, z)}{\partial y^2} + \frac{\partial^2 f(x, y, z)}{\partial z^2} = 0 \quad . \quad (4)$$

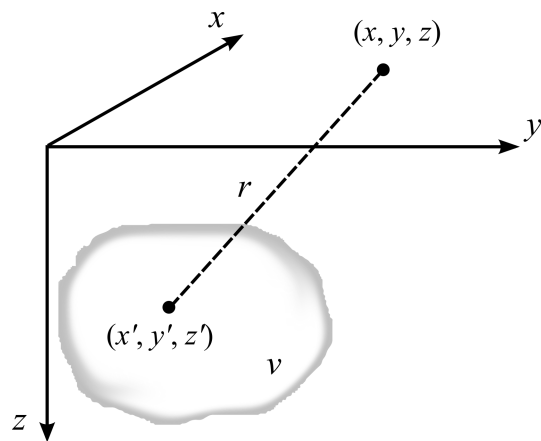


Figura 1: Distância  $r = \sqrt{(x - x')^2 + (y - y')^2 + (z - z')^2}$  entre um ponto  $(x, y, z)$  e outro ponto  $(x', y', z')$  de um sistema de coordenadas Cartesianas. O ponto  $(x', y', z')$  está dentro do volume de integração  $v$ .

## Parte II

# Harmônicos esféricos

## 2 Equações diferenciais auxiliares

### 2.1 Equações de $r$

Sejam  $f_1(r)$  e  $f_2(r)$  duas funções dadas por

$$f_1(r) = r^n \tag{5}$$

e

$$f_2(r) = r^{-(n+1)} \quad , \tag{6}$$

em que  $n \geq 0$  é um número inteiro e  $r > 0$  é um número real.

.....

#### 2.1.1 Exercício

Mostre que  $f_1(r)$  (Eq. 5) e  $f_2(r)$  (Eq. 6) são soluções da equação diferencial

$$r^2 \frac{d^2 f(r)}{dr^2} + 2r \frac{df(r)}{dr} - n(n+1)f(r) = 0 \quad . \tag{7}$$

.....

### 2.2 Equações de $\lambda$

Sejam  $h_1(\lambda)$  e  $h_2(\lambda)$  duas funções dadas por

$$h_1(\lambda) = \cos(m\lambda) \tag{8}$$

e

$$h_2(\lambda) = \text{sen}(m\lambda) \quad , \quad (9)$$

em que  $m \geq 0$  é um número inteiro e  $\lambda$  é um número real.

.....

### 2.2.1 Exercício

Mostre que  $h_1(\lambda)$  (Eq. 8) e  $h_2(\lambda)$  (Eq. 9) são soluções da equação diferencial

$$\frac{d^2 h(\lambda)}{d\lambda^2} + m^2 h(\lambda) = 0 \quad . \quad (10)$$

.....

## 2.3 Polinômios de Legendre

A equação diferencial

$$\text{sen}\theta \, g''(\theta) + \cos\theta \, g'(\theta) + \left[ n(n+1) \text{sen}\theta - \frac{m^2}{\text{sen}\theta} \right] = 0 \quad (11)$$

tem como solução os *Polinômios associados de Legendre*

$$g(\theta) = P_{nm}(\cos\theta) \quad . \quad (12)$$

Nestas Equações,  $n$  e  $m$  são inteiros maiores ou iguais a zero (sendo  $m$  menor ou igual a  $n$ ),  $g'(\theta)$  é a primeira derivada e  $g''(\theta)$  é a segunda derivada de  $g(\theta)$ . Os inteiros  $n$  e  $m$  são, respectivamente, o grau e a ordem do polinômio  $P_{nm}(\cos\theta)$ . Por conveniência, estas Equações são comumente transformadas por mudança

de variáveis utilizando a relação  $t = \cos(\theta)$ . Dessa forma,

$$\begin{aligned} g(\theta) &= \bar{g}(t) \\ g'(\theta) &= -\bar{g}'(t) \sin\theta \\ g''(\theta) &= \bar{g}''(t) \sin^2\theta - \bar{g}'(t) \cos\theta \quad . \end{aligned} \tag{13}$$

em que  $\bar{g}(t) = P_{nm}(t)$ , com primeira e segunda derivadas  $\bar{g}'(t)$  e  $\bar{g}''(t)$ , respectivamente. Substituindo as Equações 13 na equação diferencial 11, dividindo o resultado por  $\sin\theta$  e utilizando a relação  $\sin^2\theta = 1 - t^2$  temos que

$$(1 - t^2) \bar{g}''(t) - 2t \bar{g}'(t) + \left[ n(n+1) - \frac{m^2}{1-t^2} \right] = 0 \quad . \tag{14}$$

A função  $\bar{g}(t) = P_{nm}(t)$  (polinômio associado de Legendre escrito em função da variável  $t$ ) que satisfaz a Equação 14 pode ser dada por

$$P_{nm}(t) = \frac{1}{2^n n!} (1 - t^2)^{m/2} \frac{d^{n+m}}{dt^{n+m}} (t^2 - 1)^n \quad . \tag{15}$$

Por exemplo,

$$\begin{aligned} P_{11}(t) &= \frac{(1 - t^2)^{1/2}}{2} \frac{d^2}{dt^2} (t^2 - 1) \\ &= \sqrt{1 - t^2} \\ &= \sin\theta \quad , \end{aligned} \tag{16}$$

ou

$$\begin{aligned} P_{21}(t) &= \frac{(1 - t^2)^{1/2}}{2^2 2!} \frac{d^3}{dt^3} (t^2 - 1)^2 \\ &= \frac{\sqrt{1 - t^2}}{8} (16t + 8t) \\ &= 3t \sqrt{1 - t^2} \\ &= 3 \sin\theta \cos\theta \quad . \end{aligned} \tag{17}$$

No caso particular em que  $m = 0$ , não há raízes  $\sqrt{1 - t^2}$ ,  $P_{nm}(t)$  é representado simplesmente por  $P_n(t)$  e é denominado polinômio de Legendre. A partir da

Equação 15, os polinômios de Legendre podem ser escritos como

$$P_n(t) = \frac{1}{2^n n!} \frac{d^n}{dt^n} (t^2 - 1)^n \quad . \quad (18)$$

Alternativamente, os polinômios de Legendre (18) a partir do grau  $n = 2$  podem ser obtidos pela fórmula recursiva

$$P_n(t) = -\frac{n-1}{n} P_{n-2}(t) + \frac{2n-1}{n} t P_{n-1}(t) \quad , \quad (19)$$

em que  $P_2(t)$  é obtido utilizando  $P_0(t)$  e  $P_1(t)$ ,  $P_3(t)$  é obtido utilizando  $P_1(t)$  e  $P_2(t)$ , etc.

.....

### 2.3.1 Exercício

Determine:

- (i) os polinômios associados de Legendre de grau  $n = 0$  e ordem  $m = 0$  até grau  $n = 3$  e ordem  $m = 3$  utilizando a Equação 15.
- (ii) os polinômios de Legendre de grau  $n = 0$  até  $n = 5$  utilizando a Equação 18.
- (iii) os polinômios de Legendre de grau  $n = 2$  até  $n = 5$  utilizando a fórmula recursiva representada pela Equação 19.

### 2.3.2 Exercício

Faça um gráfico dos polinômios de Legendre  $P_n(t)$  de grau  $n = 0$  até  $n = 5$  para  $t$  no intervalo  $[-1, 1]$ .

.....



### 3 Equação de Laplace em coordenadas esféricas

Seja  $V(r, \theta, \lambda)$  uma função harmônica que depende das coordenadas esféricas  $r$ ,  $\theta$  e  $\lambda$  (Fig. 2). Esta função satisfaz a equação de Laplace em coordenadas esféricas, que pode ser escrita como

$$r^2 \frac{\partial^2 V}{\partial r^2} + 2r \frac{\partial V}{\partial r} + \frac{\partial^2 V}{\partial \theta^2} + \cot \theta \frac{\partial V}{\partial \theta} + \frac{1}{\sin^2 \theta} \frac{\partial^2 V}{\partial \lambda^2} = 0 \quad . \quad (20)$$

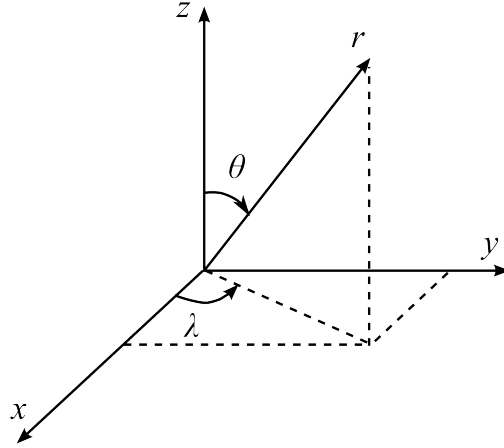


Figura 2: Sistema de coordenadas Cartesianas  $(x, y, z)$  e esféricas  $(r, \theta, \lambda)$ .

#### 3.1 Solução da Equação de Laplace em coordenadas esféricas

A equação de Laplace 20 pode ser resolvida pelo método de separação de variáveis. Este método consiste em supor que a função  $V(r, \theta, \lambda)$  pode ser reescrita como o produto entre três funções independentes:

$$V(r, \theta, \lambda) = f(r) g(\theta) h(\lambda) \quad . \quad (21)$$

O próximo passo consiste em determinar as funções  $f(r)$ ,  $g(\theta)$  e  $h(\lambda)$ . Para tanto, basta substituir a função  $V(r, \theta, \lambda)$  dada pela Equação 21 na equação de Laplace 20. Esta substituição nos leva a conclusão de que a função  $f(r)$  (Eq. 21) satisfaz a equação diferencial 7. Tal como visto anteriormente, as funções  $f_1(r)$  (Eq. 5) e  $f_2(r)$  (Eq. 6) são soluções desta equação. Neste caso, mostra-se que a função  $V(r, \theta, \lambda)$  pode ser escrita como:

$$V(r, \theta, \lambda) = r^n g(\theta) h(\lambda) \quad , \quad (22)$$

ou

$$V(r, \theta, \lambda) = \frac{1}{r^{(n+1)}} g(\theta) h(\lambda) \quad . \quad (23)$$

De forma análoga, mostra-se que a função  $h(\lambda)$  (Eq. 21) satisfaz a equação diferencial 10, que possui as soluções  $h_1(\lambda)$  (Eq. 8) e  $h_2(\lambda)$  (Eq. 9), e que a função  $g(\theta)$  (Eq. 21) satisfaz a equação diferencial 11, cuja solução é dada pelos polinômios associados de Legendre  $P_{nm}(\cos\theta)$  (Eq. 12). Os polinômios associados de Legendre  $P_{nm}(\cos\theta)$  podem ser obtidos pela Equação 15, em que  $t = \cos\theta$ . Por fim, é possível mostrar que a função  $V(r, \theta, \lambda)$  pode ser escrita de duas formas:

$$V_e(r, \theta, \lambda) = \sum_{n=0}^{\infty} r^n Y_n(\theta, \lambda) \quad , \quad (24)$$

ou

$$V_i(r, \theta, \lambda) = \sum_{n=0}^{\infty} \frac{1}{r^{(n+1)}} Y_n(\theta, \lambda) \quad , \quad (25)$$

em que

$$Y_n(\theta, \lambda) = \sum_{m=0}^n [A_{nm} R_{nm}(\theta, \lambda) + B_{nm} S_{nm}(\theta, \lambda)] \quad , \quad (26)$$

sendo  $A_{nm}$  e  $B_{nm}$  constantes e as funções  $R_{nm}(\theta, \lambda)$  e  $S_{nm}(\theta, \lambda)$  dadas por

$$R_{nm}(\theta, \lambda) = P_{nm}(\cos\theta) \cos(m\lambda) \quad (27)$$

e

$$S_{nm}(\theta, \lambda) = P_{nm}(\cos\theta) \sin(m\lambda) \quad . \quad (28)$$

As funções  $V_e(r, \theta, \lambda)$  (Eq. 24) e  $V_i(r, \theta, \lambda)$  (Eq. 25) são denominadas *harmônicos esféricos sólidos*. Já as funções  $Y_n(\theta, \lambda)$  (Eq. 26) são denominadas *harmônicos (esféricos) de superfície*.

### 3.2 Relações de ortogonalidade entre as funções $R_{nm}(\theta, \lambda)$ e $S_{nm}(\theta, \lambda)$

As expressões analíticas que descrevem as constantes  $A_{nm}$  e  $B_{nm}$  (Eq. 26) podem ser determinadas por meio das relações de ortogonalidade entre as funções  $R_{nm}(\theta, \lambda)$  (Eq. 27) e  $S_{nm}(\theta, \lambda)$  (Eq. 28). Para tanto, vamos considerar  $r = 1$  nas equações 24 e 25. Dessa maneira, estas equações são iguais a uma função  $f(\theta, \lambda)$  que pode ser escrita em função dos harmônicos de superfície (Eq. 26) da seguinte forma

$$\begin{aligned} f(\theta, \lambda) &= \sum_{n=0}^{\infty} Y_n(\theta, \lambda) \\ &= \sum_{n=0}^{\infty} \sum_{m=0}^n [A_{nm} R_{nm}(\theta, \lambda) + B_{nm} S_{nm}(\theta, \lambda)] \quad . \end{aligned} \quad (29)$$

De acordo com as relações de ortogonalidade entre as funções  $R_{nm}(\theta, \lambda)$  (Eq. 27) e  $S_{nm}(\theta, \lambda)$  (Eq. 28),

$$\iint_{\sigma} R_{nm}(\theta, \lambda) R_{op}(\theta, \lambda) d\sigma = 0 \quad (30)$$

e

$$\iint_{\sigma} S_{nm}(\theta, \lambda) S_{op}(\theta, \lambda) d\sigma = 0 \quad (31)$$

para o caso em que  $nm \neq op$ . Já a integral

$$\iint_{\sigma} R_{nm}(\theta, \lambda) S_{op}(\theta, \lambda) d\sigma = 0 \quad (32)$$

é sempre zero, independente dos valores de  $o$  e  $p$ . Nestas Equações,  $\iint_{\sigma} = \int_{\lambda=0}^{2\pi} \int_{\theta=0}^{\pi}$  e  $d\sigma = \sin\theta d\theta d\lambda$ . Por outro lado, estas integrais são diferentes de zero quando  $nm = op$ . Neste caso,

$$\iint_{\sigma} R_{n0}^2(\theta, \lambda) d\sigma = \frac{4\pi}{2n+1} \quad (33)$$

e

$$\left. \begin{aligned} \iint_{\sigma} R_{nm}^2(\theta, \lambda) d\sigma \\ \iint_{\sigma} S_{nm}^2(\theta, \lambda) d\sigma \end{aligned} \right\} = \frac{2\pi}{2n+1} \frac{(n+m)!}{(n-m)!} \quad (34)$$

Observe que estas integrais (Eqs. 30, 31, 32, 33 e 34) são avaliadas sobre a superfície  $\sigma$  de uma esfera com raio unitário, cuja área é igual a  $4\pi$ .

### 3.3 Determinação das expressões analíticas que descrevem as constantes $A_{nm}$ e $B_{nm}$

Para determinar as expressões analíticas que descrevem as constantes  $A_{nm}$  (Eqs. 26 e 29), basta multiplicar os dois lados da Equação 29 por  $R_{op}(\theta, \lambda)$  (Eq. 27), integrar o resultado sobre a superfície  $\sigma$  de uma esfera com raio unitário e utilizar

as relações de ortogonalidade (Eqs. 30, 31, 32, 33 e 34):

$$\begin{aligned}
R_{op}(\theta, \lambda) f(\theta, \lambda) &= R_{op}(\theta, \lambda) \sum_{n=0}^{\infty} \sum_{m=0}^n [A_{nm} R_{nm}(\theta, \lambda) + B_{nm} S_{nm}(\theta, \lambda)] \\
&= [A_{00} R_{op}(\theta, \lambda) R_{00}(\theta, \lambda) + \\
&\quad B_{00} R_{op}(\theta, \lambda) S_{00}(\theta, \lambda) + \\
&\quad A_{10} R_{op}(\theta, \lambda) R_{10}(\theta, \lambda) + \\
&\quad B_{10} R_{op}(\theta, \lambda) S_{10}(\theta, \lambda) + \\
&\quad A_{11} R_{op}(\theta, \lambda) R_{11}(\theta, \lambda) + \\
&\quad B_{11} R_{op}(\theta, \lambda) S_{11}(\theta, \lambda) + \\
&\quad \vdots \\
&\quad A_{op} R_{op}(\theta, \lambda) R_{op}(\theta, \lambda) + \\
&\quad B_{op} R_{op}(\theta, \lambda) S_{op}(\theta, \lambda) + \\
&\quad \vdots \\
&\quad A_{nn} R_{op}(\theta, \lambda) R_{nn}(\theta, \lambda) + \\
&\quad B_{nn} R_{op}(\theta, \lambda) S_{nn}(\theta, \lambda)] \\
&= [\dots + A_{op} R_{op}^2(\theta, \lambda) + \dots]
\end{aligned} \tag{35}$$

$$\begin{aligned}
\iint_{\sigma} f(\theta, \lambda) R_{op}(\theta, \lambda) d\sigma &= \left[ \dots + \iint_{\sigma} A_{op} R_{op}^2(\theta, \lambda) d\sigma + \dots \right] \\
&= \left[ \dots + A_{op} \iint_{\sigma} R_{op}^2(\theta, \lambda) d\sigma + \dots \right] \cdot \\
&= A_{op} \iint_{\sigma} R_{op}^2(\theta, \lambda) d\sigma
\end{aligned} \tag{36}$$

De forma análoga, para obter as expressões analíticas que descrevem as constantes  $B_{nm}$  (Eqs. 26 e 29), basta multiplicar os dois lados da Equação 29 por  $S_{op}(\theta, \lambda)$  (Eq. 28), integrar o resultado sobre a superfície  $\sigma$  de uma esfera com

raio unitário e utilizar as relações de ortogonalidade (Eqs. 30, 31, 32, 33 e 34):

$$\iint_{\sigma} f(\theta, \lambda) S_{op}(\theta, \lambda) d\sigma = B_{op} \iint_{\sigma} S_{op}^2(\theta, \lambda) d\sigma. \quad (37)$$

A partir das Equações 36 e 37 temos que

$$A_{n0} = \frac{2n+1}{4\pi} \iint_{\sigma} f(\theta, \lambda) R_{n0}(\theta, \lambda) d\sigma, \quad (38)$$

$$A_{nm} = \frac{2n+1}{2\pi} \frac{(n-m)!}{(n+m)!} \iint_{\sigma} f(\theta, \lambda) R_{nm}(\theta, \lambda) d\sigma, \quad m \neq 0, \quad (39)$$

e

$$B_{nm} = \frac{2n+1}{2\pi} \frac{(n-m)!}{(n+m)!} \iint_{\sigma} f(\theta, \lambda) S_{nm}(\theta, \lambda) d\sigma, \quad m \neq 0. \quad (40)$$

### 3.4 Normalização das funções $R_{nm}(\theta, \lambda)$ e $S_{nm}(\theta, \lambda)$

Em geofísica, a descrição do campo de gravidade e do campo geomagnético é feita por meio dos harmônicos esféricos (Eqs. 24 e 25). Contudo, por conveniência, a descrição destes campos não é feita utilizando-se as funções  $R_{nm}(\theta, \lambda)$  (Eq. 27) e  $S_{nm}(\theta, \lambda)$  (Eq. 28). Ao invés destas funções, são utilizadas as funções normalizadas

$$\overline{R}_{nm}(\theta, \lambda) = c_{nm} R_{nm}(\theta, \lambda) \quad (41)$$

e

$$\overline{S}_{nm}(\theta, \lambda) = c_{nm} S_{nm}(\theta, \lambda). \quad (42)$$

Utilizando as Equações 27 e 28, é possível reescrever as Equações 41 e 42 em função dos Polinômios associados de Legendre (Eqs. 12 e 15) da seguinte forma

$$\overline{R}_{nm}(\theta, \lambda) = \overline{P}_{nm}(\cos\theta) \cos(m\lambda) \quad (43)$$

e

$$\bar{S}_{nm}(\theta, \lambda) = \bar{P}_{nm}(\cos\theta) \sin(m\lambda), \quad (44)$$

em que

$$\bar{P}_{nm}(\cos\theta) = c_{nm} P_{nm}(\cos\theta) \quad (45)$$

são os *Polinômios associados de Legendre plenamente normalizados*.

Para descrever o campo de gravidade, os coeficientes  $c_{nm}$  (Eqs. 41 e 42) são

$$c_{n0}^{gr} = \sqrt{2n+1} \quad (46)$$

e

$$c_{nm}^{gr} = \sqrt{2(2n+1)} \frac{(n-m)!}{(n+m)!}, \quad m \neq 0. \quad (47)$$

Para descrever o campo geomagnético, os coeficientes  $c_{nm}$  (Eqs. 41 e 42) são

$$c_{n0}^{ge} = 1 \quad (48)$$

e

$$c_{nm}^{ge} = \sqrt{2} \frac{(n-m)!}{(n+m)!}, \quad m \neq 0. \quad (49)$$

.....

### 3.4.1 Exercício

Utilizando as relações de ortogonalidade entre as funções  $R_{nm}(\theta, \lambda)$  (Eq. 30) e  $S_{nm}(\theta, \lambda)$  (Eq. 31), determine

$$\frac{1}{4\pi} \iint_{\sigma} \left[ \bar{R}_{nm}^{gr}(\theta, \lambda) \right]^2 d\sigma,$$

$$\frac{1}{4\pi} \iint_{\sigma} \left[ \bar{S}_{nm}^{gr}(\theta, \lambda) \right]^2 d\sigma,$$

$$\frac{1}{4\pi} \iint_{\sigma} \left[ \bar{R}_{nm}^{ge}(\theta, \lambda) \right]^2 d\sigma$$

e

$$\frac{1}{4\pi} \iint_{\sigma} \left[ \bar{S}_{nm}^{ge}(\theta, \lambda) \right]^2 d\sigma,$$

em que  $\iint_{\sigma} = \int_{\lambda=0}^{2\pi} \int_{\theta=0}^{\pi}$  e  $d\sigma = \sin\theta d\theta d\lambda$ . Nestas integrais,  $\bar{R}_{nm}^{gr}(\theta, \lambda)$  e  $\bar{S}_{nm}^{gr}(\theta, \lambda)$  representam as funções normalizadas  $\bar{R}_{nm}(\theta, \lambda)$  (Eq. 41) e  $\bar{S}_{nm}(\theta, \lambda)$  (Eq. 42) utilizando-se os coeficientes  $c_{n0}^{gr}$  (Eq. 46) e  $c_{nm}^{gr}$  (Eq. 47). Analogamente,  $\bar{R}_{nm}^{ge}(\theta, \lambda)$  e  $\bar{S}_{nm}^{ge}(\theta, \lambda)$  representam as funções normalizadas  $\bar{R}_{nm}(\theta, \lambda)$  (Eq. 41) e  $\bar{S}_{nm}(\theta, \lambda)$  (Eq. 42) utilizando-se os coeficientes  $c_{n0}^{ge}$  (Eq. 48) e  $c_{nm}^{ge}$  (Eq. 49).

.....

### 3.5 Descrição do campo de gravidade em harmônicos esféricos

A força total exercida sobre um corpo de prova que possui massa  $m_0$  e está em repouso sobre a superfície da Terra é a soma da *força gravitacional* e da *força centrífuga*. Se dividirmos a força total pela massa  $m_0$  do corpo de prova, o resultado é uma grandeza com unidade de aceleração denominada *aceleração de gravidade* ou *vetor gravidade*. O vetor gravidade é a soma entre uma aceleração de origem gravitacional e outra devido ao movimento de rotação da Terra. Por conveniência, a primeira é denominada *aceleração gravitacional* e a outra *aceleração centrífuga*. Do ponto de vista físico, o vetor gravidade é o gradiente de uma função escalar denominada *potencial de gravidade*. Analogamente, a aceleração gravitacional e a centrífuga são, respectivamente, o gradiente do *potencial gravitacional* e o gradiente do *potencial centrífugo*. O potencial gravitacional é uma função harmônica e, portanto, satisfaz a equação de Laplace. Devido a natureza física do problema, o potencial gravitacional pode ser descrito em



termos dos harmônicos esféricos sólidos representados pela Equação 25. Sendo assim, de acordo com as Equações 25-28, o potencial gravitacional  $V(r, \theta, \lambda)$  em um ponto  $(r, \theta, \lambda)$  de um sistema de coordenadas esféricas (Fig. 2) pode ser escrito como:

$$V(r, \theta, \lambda) = \sum_{n=0}^{\infty} \sum_{m=0}^n \frac{1}{r^{(n+1)}} [A_{nm} R_{nm}(\theta, \lambda) + B_{nm} S_{nm}(\theta, \lambda)] . \quad (50)$$

Tal como mencionado anteriormente, a descrição do campo de gravidade não é feita utilizando-se as funções  $R_{nm}(\theta, \lambda)$  (Eq. 27) e  $S_{nm}(\theta, \lambda)$  (Eq. 28), mas sim as funções normalizadas  $\bar{R}_{nm}(\theta, \lambda)$  (Eq. 41) e  $\bar{S}_{nm}(\theta, \lambda)$  (Eq. 42), cujos coeficientes de normalização  $c_{nm} = c_{nm}^{gr}$  são mostrados nas Equações 46 e 47. Assim, o potencial gravitacional  $V(r, \theta, \lambda)$  (Eq. 50) pode ser reescrito da seguinte forma:

$$V(r, \theta, \lambda) = \frac{GM}{r} \sum_{n=0}^{\infty} \sum_{m=0}^n \frac{1}{r^n} \left[ \frac{A_{nm}}{c_{nm}^{gr} GM} \bar{R}_{nm}(\theta, \lambda) + \frac{B_{nm}}{c_{nm}^{gr} GM} \bar{S}_{nm}(\theta, \lambda) \right] , \quad (51)$$

em que a constante  $GM$  representa o produto entre a constante gravitacional  $G$  e a massa  $M$  da Terra. Note que, para obter a Equação 51, é necessário multiplicar e dividir a Equação 50 pela distância radial  $r$  (Fig. 2). Finalmente, se multiplicarmos e dividirmos cada elemento do somatório da Equação 51 pelo raio médio da Terra  $R$  e substituirmos as Equações 43 e 44, o potencial gravitacional é representado por:

$$V(r, \theta, \lambda) = \frac{GM}{r} \sum_{n=0}^{n_{max}} \sum_{m=0}^n \left( \frac{R}{r} \right)^n \bar{P}_{nm}(\cos\theta) [\bar{A}_{nm} \cos(m\lambda) + \bar{B}_{nm} \sin(m\lambda)] , \quad (52)$$

em que  $\bar{P}_{nm}(\cos\theta)$  são os Polinômios associados de Legendre plenamente normalizados (Eq. 45), cujos coeficientes de normalização  $c_{nm} = c_{nm}^{gr}$  são mostrados nas Equações 46 e 47. Note que, diferente da Equação 51, o somatório na Equação 52 não vai até  $n = \infty$ , mas sim até um grau máximo  $n = n_{max}$  finito. Um

conjunto de coeficientes  $\overline{A}_{nm}$  e  $\overline{B}_{nm}$  provenientes da expansão em harmônicos esféricos sólidos representada pela Equação 52 até um grau máximo  $n = n_{max}$  constitui um *modelo global do campo de gravidade*.

### 3.6 Expansão da função inverso da distância e fórmula da decomposição

Considere dois pontos  $P$  e  $P'$  separados por um ângulo  $\psi$  e uma distância  $l$  (Figura 3). De acordo com a lei dos cossenos, a distância  $l$  é dada por

$$l^2 = r^2 + r'^2 - 2 r r' \cos\psi, \quad (53)$$

em que

$$\cos\psi = \cos\theta \cos\theta' + \sin\theta \sin\theta' \cos(\lambda' - \lambda). \quad (54)$$

A partir da Equação 53, é possível escrever

$$\frac{1}{l} = \frac{1}{\sqrt{r^2 + r'^2 - 2 r r' \cos\psi}}. \quad (55)$$

Sabe-se que, se  $r' < r$ , a função  $1/l$  (Eq. 55) pode ser descrita pela expansão

$$\frac{1}{l} = \sum_{n=0}^{\infty} \frac{r'^n}{r^{n+1}} P_n(\cos\psi), \quad (56)$$

em que  $P_n(t) = P_n(\cos\psi)$  (Eqs. 18 e 19) são os Polinômios de Legendre. Por questões práticas, os Polinômios de Legendre  $P_n(\cos\psi)$  são reescritos em função das coordenadas esféricas  $(r, \theta, \lambda)$  a partir da *fórmula da decomposição*:

$$P_n(\cos\psi) = \quad (57)$$

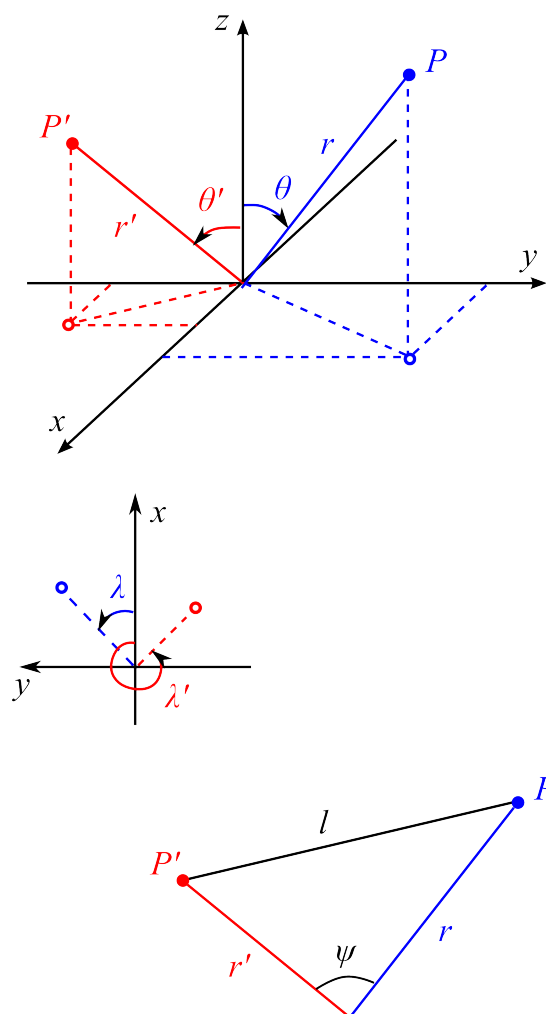


Figura 3: Distância  $l$  entre um ponto  $P$  e outro ponto  $P'$  de um sistema de coordenadas esféricas.